

# Úvod do laserové techniky

## Světlo jako elektromagnetické záření

### II. část

Jan Šulc

Katedra fyzikální elektroniky  
České vysoké učení technické v Praze  
[jan.sulc@fjfi.cvut.cz](mailto:jan.sulc@fjfi.cvut.cz)

6. října 2016

# Kontakty

Ing. Jan Šulc, Ph.D.

jan.sulc@fjfi.cvut.cz

Trojanova, místnost 237

Tel.: 224 358 672

Prof. Ing. Helena Jelínková, DrSc.

helena.jelinkova@fjfi.cvut.cz

Trojanova, místnost 236

Tel.: 224 358 538

Ing. Michal Němec, Ph.D.

michal.nemec@fjfi.cvut.cz

Trojanova, místnost 237

Tel.: 224 358 672

Materiály k přednášce a k cvičení: <http://people.fjfi.cvut.cz/sulcjan1/ult/>

## Světlo jako elektromagnetické záření – opakování

- ▶ Světlo – elektromagnetická vlna  $\times$  částice (foton)
- ▶ Periodické harmonické kmity *elektrického a magnetického pole*

$$\vec{E}(x, y, z, t) = \vec{i}_y E_0 \cos(\omega t - \vec{k} \cdot \vec{r} + \Phi)$$

- ▶ Amplituda  $\times$  fáze, fázový člen, fázová konstanta  $\Phi$ , vlnoplocha
- ▶ Frekvence  $f$ , kruhová frekvence  $\omega = 2\pi f$   $\times$  perioda  $T = f^{-1}$
- ▶ Rychlosť šírenia  $c$ , vlnové číslo  $k = \omega/c$ , vlnový vektor  $\vec{k}$ , směr šíření
- ▶ Vlnová délka  $\lambda = cT = c/f$
- ▶ Polarizace  $\vec{i}_y$  – lineární  $\times$  eliptická (kruhová)
- ▶ Intenzita elektrického pole  $E$  [V/m]  $\times$  Intenzita záření  $I$  [W/m<sup>2</sup>]

$$I = \frac{1}{2} c \epsilon E_0^2$$

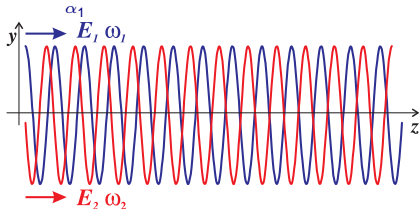
- ▶ *Superpozice* elektromagnetických vln – interferenční jevy

## Příklad superpozice dvou vlnění

Dvě elemag. vlny různých frekvencí, ale stejné polarizace a směru šíření

- ▶ Pracujeme s elektrickou složkou pole (magnetické umíme dopočítat)

$$\vec{E}_1(x, y, z, t) = \vec{I}_y E_0 \cos(\underbrace{\omega_1 t - k_1 z + \Phi_1}_{\alpha_1}), \quad \vec{E}_2(x, y, z, t) = \vec{I}_y E_0 \cos(\underbrace{\omega_2 t - k_2 z + \Phi_2}_{\alpha_2})$$



- ▶ Provedeme superpozici v každém čase a bodě

$$\vec{E} = \vec{E}_1 + \vec{E}_2 = 2\vec{I}_y E_0 \cos \frac{\alpha_1 + \alpha_2}{2} \cos \frac{\alpha_1 - \alpha_2}{2}$$

- ▶ Využili jsme součtový vzorec pro cos

$$\cos \alpha_1 + \cos \alpha_2 = 2 \cos \frac{\alpha_1 + \alpha_2}{2} \cos \frac{\alpha_1 - \alpha_2}{2}$$

## Příklad superpozice dvou vlnění (stejný směr, různé frekvence)

- Matematický popis pole vzniklého superpozicí

$$\vec{E} = \vec{E}_1 + \vec{E}_2 = 2\vec{I}_y E_0 \cos \frac{\alpha_1 + \alpha_2}{2} \cos \frac{\alpha_1 - \alpha_2}{2}$$

- Upravíme nové fázové členy (původní  $\alpha_{1,2} = \omega_{1,2}t - k_{1,2}z + \Phi_{1,2}$ )

$$\frac{\alpha_1 + \alpha_2}{2} = \underbrace{\frac{\omega_1 + \omega_2}{2}}_{\bar{\omega}} t - \underbrace{\frac{k_1 + k_2}{2}}_{\bar{k}} z + \underbrace{\frac{\Phi_1 + \Phi_2}{2}}_{\bar{\Phi}} \quad (\text{průměr})$$

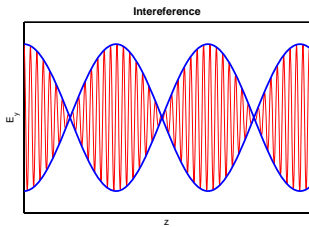
$$\frac{\alpha_1 - \alpha_2}{2} = \underbrace{\frac{\omega_1 - \omega_2}{2}}_{\Delta\omega/2} t - \underbrace{\frac{k_1 - k_2}{2}}_{\Delta k/2} z + \underbrace{\frac{\Phi_1 - \Phi_2}{2}}_{\Delta\Phi/2} \quad (\text{rozdíl})$$

- Výsledné pole

$$\vec{E} = \vec{I}_y 2E_0 \cos \left( \frac{\Delta\omega}{2} t - \frac{\Delta k}{2} z + \frac{\Delta\Phi}{2} \right) \cos(\bar{\omega}t - \bar{k}z + \bar{\Phi})$$

## Příklad superpozice dvou vlnění (stejný směr, různé frekvence)

$$\vec{E} = \vec{t}_y 2E_0 \cos\left(\frac{\Delta\omega}{2}t - \frac{\Delta k}{2}z + \frac{\Delta\Phi}{2}\right) \cos(\bar{\omega}t - \bar{k}z + \bar{\Phi})$$



Zázněje pro  $\omega_1 \doteq \omega_2$  je  $\Delta\omega \ll \omega_1, \omega_2$ , resp.  $\Delta k \ll k_1, k_2$  – amplitudová periodická modulace pole vznikající v důsledku **superpozice**

$$\vec{E} = \vec{t}_y A(z, t) \cos(\bar{\omega}t - \bar{k}z + \bar{\Phi})$$

Rychlosť fázová rychlosť šíření nosné vlny (vlnoplochy) prostředím

$$\bar{\omega}t - \bar{k}z = 0 \Rightarrow v_f \equiv \frac{z}{t} = \frac{\bar{\omega}}{\bar{k}} = \bar{\nu} \bar{\lambda}$$

Rychlosť grupová rychlosť šíření maxima obálky (impulu) – energie

$$\frac{\Delta\omega}{2}t - \frac{\Delta k}{2}z = 0 \Rightarrow v_g \equiv \frac{z}{t} = \frac{\Delta\omega}{\Delta k} \approx \frac{d\omega}{dk}$$

# Příklad superpozice dvou vlnění

Stejné frekvence a polarizace, šíření v různých směrech

$$\vec{E}_1(\vec{r}, t) = \vec{t}_y E_0 \cos(\omega t - \vec{k}_1 \cdot \vec{r} + \Phi_1)$$

$$\vec{k}_1 = (-k_x, 0, k_z)$$

$$\vec{E}_2(\vec{r}, t) = \vec{t}_y E_0 \cos(\omega t - \vec{k}_2 \cdot \vec{r} + \Phi_2)$$

$$\vec{k}_2 = (k_x, 0, k_z)$$

- ▶ Výsledné pole

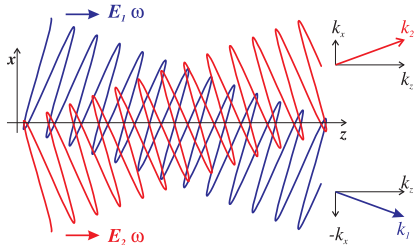
$$\vec{E} = \vec{t}_y 2E_0 \cos\left(\frac{\Delta\omega}{2}t - \frac{\Delta\vec{k}}{2} \cdot \vec{r} + \frac{\Delta\Phi}{2}\right) \cos\left(\bar{\omega}t - \bar{\vec{k}} \cdot \vec{r} + \bar{\Phi}\right)$$

- ▶ Stejné frekvence ( $\omega_1 = \omega_2 \equiv \omega$ )

$$\Delta\omega = \omega_1 - \omega_2 = 0, \quad \bar{\omega} = (\omega_1 + \omega_2)/2 = \omega$$

- ▶ Různé směry:  $\vec{k}_1 = (-k_x, 0, k_z)$  – šíří se podél osy z mírně dolů pod úhlem  $\theta$ ,  
 $\vec{k}_2 = (k_x, 0, k_z)$  – šíří se podél osy z mírně vzhůru pod úhlem  $\theta$ ,

$$\frac{\Delta\vec{k}}{2} = \frac{\vec{k}_1 - \vec{k}_2}{2} = (-k_x, 0, 0), \quad \bar{\vec{k}} = \frac{\vec{k}_1 + \vec{k}_2}{2} = (0, 0, k_z)$$



## Příklad superpozice dvou vlnění (stejné frekvence, různý směr)

- Výsledné pole

$$\vec{E} = \vec{t}_y 2E_0 \cos\left(\frac{\Delta\omega}{2}t - \frac{\Delta\vec{k}}{2} \cdot \vec{r} + \frac{\Delta\Phi}{2}\right) \cos\left(\bar{\omega}t - \bar{\vec{k}} \cdot \vec{r} + \bar{\Phi}\right)$$

- Po dosazení:  $\Delta\omega = 0$ ,  $\bar{\omega} = \omega$ ,  $\Delta\vec{k}/2 = (-k_x, 0, 0)$ ,  $\bar{\vec{k}} = (0, 0, k_z)$ ,  $\vec{r} = (x, y, z)$

$$\vec{E} = \vec{E}_1 + \vec{E}_2 = \underbrace{\vec{t}_y 2E_0 \cos\left(k_x x + \frac{\Delta\Phi}{2}\right)}_{A(x)} \underbrace{\cos(\omega t - k_z z + \bar{\Phi})}_{\text{vlna ve směru osy } z}$$

- Amplituda nové vlny  $A(x)$  je modulovaná ve směru osy  $x$
- Intenzita záření  $I$  je úměrná  $A^2(x)$

$$I(x) = \frac{1}{2} c \epsilon A^2(x) = \frac{1}{2} c \epsilon 4E_0^2 \cos^2\left(k_x x + \frac{\Delta\Phi}{2}\right) = c \epsilon E_0^2 [1 + \cos(2k_x x + \Delta\Phi)]$$

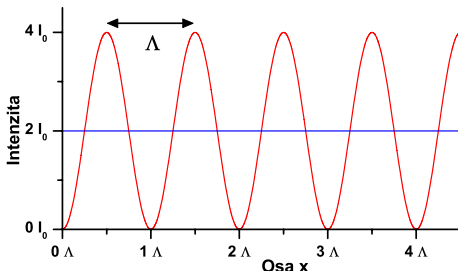
$$I(x) = 2I_0 + \underbrace{2I_0 \cos(2k_x x + \Delta\Phi)}_{\text{interferenční člen}}$$

$$I_0 = \frac{1}{2} c \epsilon E_0^2 \quad (\text{intenzita jedné samostatné vlny})$$

## Příklad superpozice dvou vlnění (stejné frekvence, různý směr)

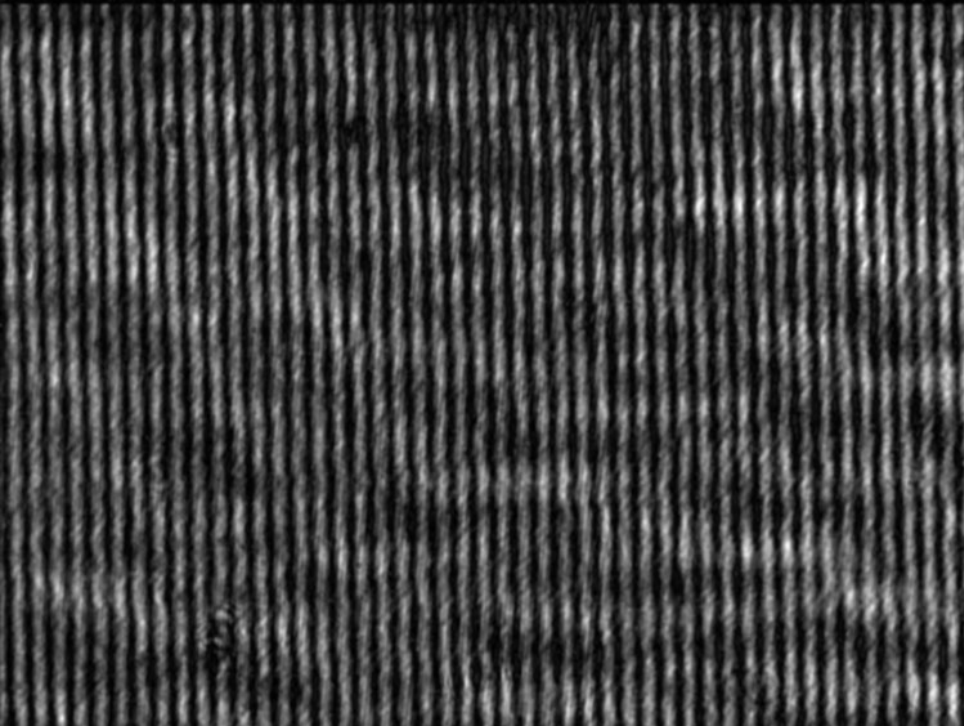
### ► Intenzita

$$I(x) = \underbrace{2I_0 + 2I_0 \cos(2k_x x + \Delta\Phi)}_{\text{interferenční člen}}$$



► Vzdálenost maxim (minim) interferenčních proužků  $2k_x \Lambda = 2\pi$ :

$$\Lambda = \frac{\pi}{k_x} = \frac{\pi}{k \sin \theta} = \frac{\lambda}{2 \sin \theta}$$

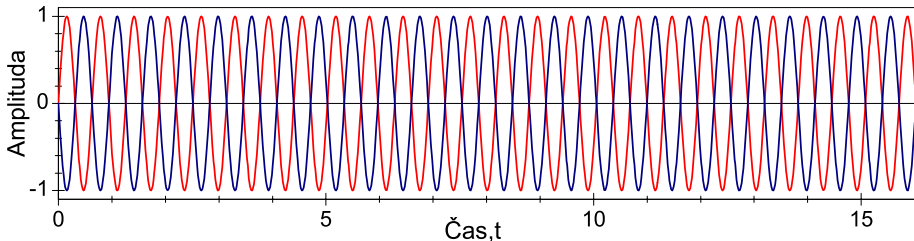


# Koherence optického záření

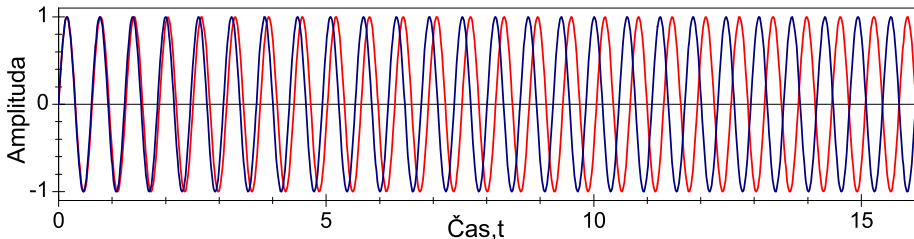
- ▶ **Koherence** – uspořádanost, souvislost
- ▶ Každé optické pole může být charakterizováno jistým parametrem, který určuje míru statistické neuspořádanosti.
- ▶ Koherence optického záření = míra jeho statistického uspořádání.
- ▶ Jestliže frekvence, polarizace nebo fáze skládajících se vln nejsou navzájem nijak vázány, vzniká velmi neuspořádané elektromagnetické pole. Má charakter náhodných fluktuací (šumů). Takové optické záření označujeme jako *nekoherentní*.
- ▶ Pokud jsou jednotlivé složky pole vzájemně vázány (korelovány), má výsledné pole uspořádanější strukturu a mluvíme o něm jako o poli *koherentním*.
- ▶ Koherentní jsou světelná vlnění stejné frekvence, jejichž fázový rozdíl je v uvažovaném bodě prostoru konstantní.
- ▶ Koherence je základním předpokladem pozorovatelné interference světla.
- ▶ Zdroje, které vysílají nekoherentní záření, nazýváme nekoherentními zdroji (Slunce, žárovka, výbojka).
- ▶ Příkladem zdrojů koherentního záření jsou laser a parametrický generátor.
- ▶ koherenční doba, koherenční délka, cohoreční plocha
- ▶ časová × prostorová koherence

# Časová koherence optického záření

- ▶ Časově koherentní vlny – zachovávají si konstantní rozdíl fáze

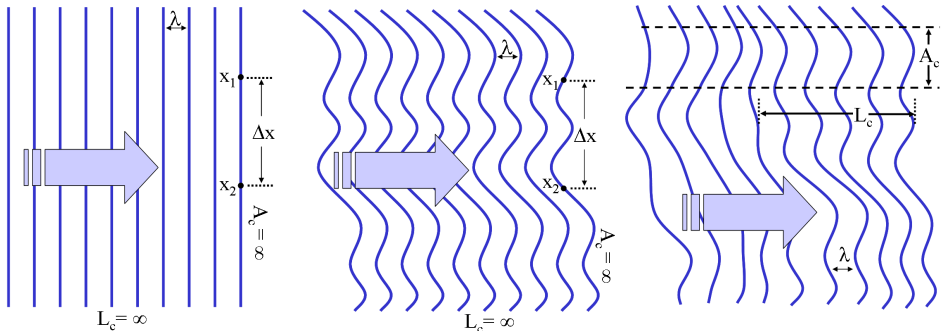


- ▶ Vlny částečně koherentní – postupně se fázový rozdíl zvětšuje



# Prostorová koherence optického záření

Prostorová koherence vzájemná uspořádanost vlnoploch



- ▶ Prostorově koherentní rovinná vlna
- ▶ Prostorově koherentní obecná vlnoplocha
- ▶ Částečně koherentní obecná vlnoplocha

# Superpozice vln před zrcadlem

- ▶ Vlna šířící se směrem k zrcadlu  $\vec{k}_+ = (0, 0, k)$

$$\vec{E}_+(\vec{r}, t) = \vec{t}_e E_0 \cos(\omega t - kz + \Phi_+)$$

- ▶ Vlna po odrazu (beze ztrát) šířící se směrem od zrcadla  $\vec{k}_- = (0, 0, -k)$

$$\vec{E}_-(\vec{r}, t) = \vec{t}_e E_0 \cos(\omega t + kz + \Phi_-)$$

- ▶ Výsledné pole

$$\vec{E} = \vec{E}_+ + \vec{E}_- = \vec{t}_y 2E_0 \cos\left(\frac{\Delta\omega}{2}t - \frac{\Delta k}{2}z + \frac{\Delta\Phi}{2}\right) \cos(\bar{\omega}t - \bar{k}z + \bar{\Phi})$$

- ▶ Stejné frekvence

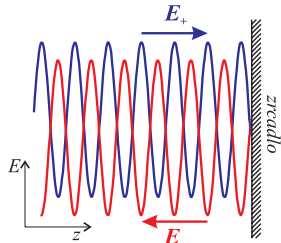
$$\Delta\omega = 0, \bar{\omega} = \omega$$

- ▶ Různé směry (opačné,  $\vec{k}_- = -\vec{k}_+$ ):

$$\frac{\Delta k}{2} = (0, 0, k), \bar{k} = (0, 0, 0)$$

- ▶ Výsledná vlna je „**vlna stojatá**“ – uzly & kmitny (v místě zrcadla uzel)

$$\vec{E} = \vec{E}_+ + \vec{E}_- = \vec{t}_y 2E_0 \underbrace{\cos\left(kz - \frac{\Delta\Phi}{2}\right)}_{\text{modulace v prostoru}} \underbrace{\cos(\omega t + \bar{\Phi})}_{\text{modulace v čase}}$$



## Superpozice vln před zrcadlem

- Výsledná vlna je „**vlna stojatá**“ – uzly & kmitny (v místě zrcadla uzel)

$$\vec{E} = \vec{E}_+ + \vec{E}_- = \vec{t}_y 2E_0 \underbrace{\cos\left(kz - \frac{\Delta\Phi}{2}\right)}_{modulace\ v\ prostoru} \underbrace{\cos(\omega t + \bar{\Phi})}_{modulace\ v\ čase}$$

- Stojatá vlna – na rozdíl od postupné vlny je závislost na čase a prostoru v argumentu jiné harmonické funkce, uzly a kmitny se nepohybují

# Fabryův-Perotův rezonátor (FPR)

- Dvě polopropustná nekonečně rozlehlá zrcadla umístěná rovnoběžně ve volném prostoru – nejjednodušší otevřený rezonátor

**Rezonátor** Obecně těleso schopné akumulace energie, které může být zdrojem kmitů, působí-li na něj periodická vnější síla. Kmitání rezonátoru vyvolané touto vnější silou se nazývá vynucené. Amplituda vynucených kmitů prudce stoupá, přibližuje-li se frekvence vnějšího působení tzv. **vlastním (rezonančním) frekvencím** rezonátoru.

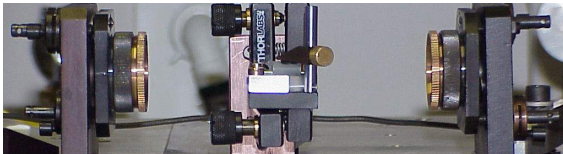
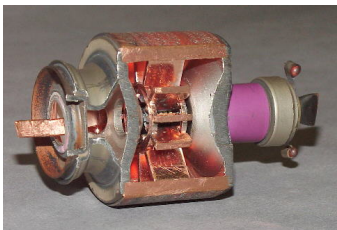
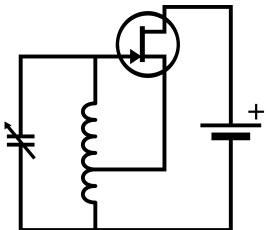
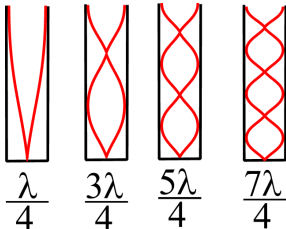
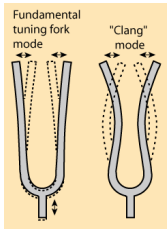
**Otevřený rezonátor** Soustava odražných ploch a opt. prvků, ve které může být vybuzeno stojaté vlnění s vlnovou délkou podstatně menší, než jsou geometrické rozměry prvků a vzdálenost mezi nimi.

*Otevřený rezonátor je nedílnou součástí laseru, kde vytváří kladnou zpětnou vazbu.*

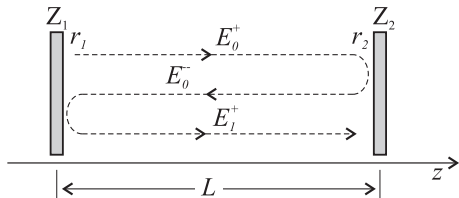
**Optický rezonátor** Otevřený rezonátor s vlastními frekvencemi odpovídajícími frekvencím optického záření.

- Uvnitř FPR dochází k interferenci nekonečného počtu vln vzniklých mnohonásobnými odrazy uvnitř FPR
- Intenzita záření prošlého FPR či odraženého od FPR závisí na vzájemné vzdálenosti odražných ploch FPR, na vlnové délce dopadajícího záření a na úhlu dopadu záření na FPR
- Rezonance, rezonanční frekvence, fázové zpoždění

# Rezonátory a oscilátory



# Superpozice vln ve Fabryově-Perotově rezonátoru



FPR: zrcadla  $Z_1, Z_2$   
vzdálenost mezi nimi  $L$   
amplitudová odrazivost zrcadel  $r_1, r_2$ .

- ▶ Vlna šířící se FPR zleva doprava:

$$\vec{E}_0^+ = \vec{t}_y E_0 \cos(\omega t - kz + \Phi_+)$$

- ▶ Po odrazu od  $Z_2$ :

$$\vec{E}_0^- = \vec{t}_y r_2 E_0 \cos(\omega t + kz + \Phi_-)$$

- ▶ Po odrazu od  $Z_1$ :

$$\vec{E}_1^+ = \vec{t}_y r_1 r_2 E_0 \cos(\omega(t - \tau) + kz + \Phi_+ + \Delta_{12})$$

- ▶ časové zpoždění na jeden průchod  $\tau = 2L/c$ ,  $\Delta_{12}$  fázová změna při odrazu
- ▶ Složením  $\vec{E}_0^+$  a  $\vec{E}_1^+$ :

$$\vec{E}_0^+ + \vec{E}_1^+ = \vec{t}_y \underbrace{E_0 \sqrt{1 + R^2 + 2R \cos \delta}}_{\text{amplituda vlny } A(x)} \cos(\omega t - kz + \Phi_+ + \beta)$$

# Superpozice vln ve Fabryově-Perotově rezonátoru

## ► Pole v rezonátoru

$$\vec{E}_0^+ + \vec{E}_1^+ = \vec{E}_0 \underbrace{\sqrt{1 + R^2 + 2R\cos(\delta)}}_{amplituda\ vlny\ A(x)} \cos(\omega t - kz + \Phi_+ + \beta)$$

kde  $R = r_1 r_2$  je odrazivost pro intenzitu záření,  $\delta = \omega\tau + \Delta_{12}$  fázové zpoždění po oběhu rezonátorem

- Amplituda vlny  $A(x)$  bude maximální, pokud  $\cos(\delta)$  bude co největší, tj. pokud  $\delta = 2n\pi$  ( $n$  je libovolné celé číslo)
- Zanedbáme  $\Delta_{12}$  vzhledem k  $\omega\tau$ . Podmínka maximalizace  $A(x)$ :

$$\delta = \omega \frac{2L}{c} = 2n\pi$$

- Podmínka **rezonance** – na jeden oběh rezonátoru ( $2L$ ) připadá **sudý počet půlvln** (pole v rezonátoru úměrné  $1/(1 - R)$ )

$$2L = 2n \frac{\lambda_n}{2}, \quad \nu_n = \frac{nc}{2L} \text{ (n-tá rezonanční frekvence)}, \quad \Delta\nu = \frac{c}{2L}$$

- Rozladění nastává pro lichý počet půlvln na oběh rezonátorem  $\delta = (2n + 1)\pi$  (pole v rezonátoru úměrné  $1/(1 + R)$ )

## Ztráty optického rezonátoru

- ▶ Energie, kterou lze uložit v rezonátoru je úměrná objemu tohoto rezonátoru
- ▶ Relaxace energie, **doba života fotonu v rezonátoru**  $\tau_c$ , ztráty rezonátoru

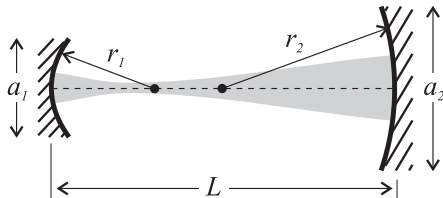
$$U(t) = U(0) \exp\left[-\frac{t}{\tau_c}\right], \quad \tau_c = \frac{2L}{c} \frac{1}{\ln \frac{1}{R_1 R_2}}$$

- ▶ **Činitel jakosti** rezonátoru  $Q$  – poměr energie uložené v rezonátoru ku energii uvolněné z rezonátoru za „periodu“ vlastních kmitů  $1/\omega_{rez}$

$$Q = \frac{U(0)}{U(0) - U(1/\omega_{rez})} = \frac{1}{1 - \exp\left[-\frac{1}{\omega_{rez}\tau_c}\right]} \doteq \omega_{rez}\tau_c = 2\pi\nu_n\tau_c$$

- ▶ Čím menší ztráty rezonátoru ( $R_1, R_2 \rightarrow 1$ ), tím větší  $\tau_c$  a  $Q$

# Otevřený rezonátor, Sférické otevřené rezonátory



$L$  – délka rezonátoru

$r_1, r_2$  – poloměr křivosti zrcadel

$a_1, a_2$  – charakteristický rozměr zrcadel  
(průměr, délka hrany...)

- ▶ Obvykle se rezonátor pro zvýšení stability realizuje pomocí kulových zrcadel
- ▶ Pasivní ztráty  $\times$  činné ztráty  $\times$  difrakční ztráty
- ▶ Fresnelovo číslo

$$N_F = \frac{a_1 a_2}{4\lambda L}$$

- ▶ Geometrické podobnostní parametry rezonátoru (rovinné zrcadlo má  $r = \infty$ )

$$G_1 = \left( \frac{a_1}{a_2} \right) \left( 1 - \frac{L}{r_1} \right)$$

$$G_2 = \left( \frac{a_2}{a_1} \right) \left( 1 - \frac{L}{r_2} \right)$$

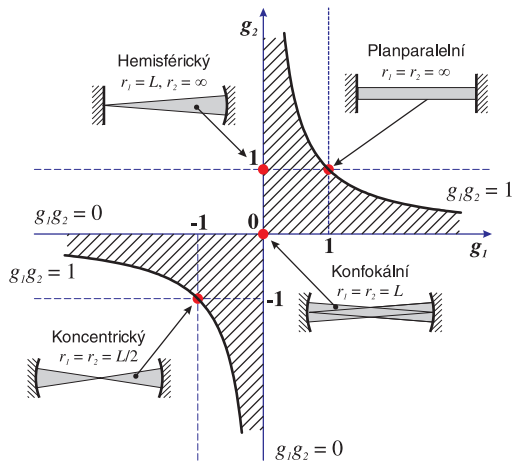
- ▶ Ekvivalentní rezonátory – mají stejné hodnoty  $G_1$ ,  $G_2$  a  $N_F$

# Diagram stability pro otevřený sférický rezonátor

- ▶ Stabilní  $\times$  nestabilní rezonátory, podmínka stability  $0 < g_1 g_2 < 1$

$$g_1 = 1 - \frac{L}{r_1}, \quad g_2 = 1 - \frac{L}{r_2}$$

- ▶ **Diagram stability** – grafické vyjádření podmínky stability  $0 < g_1 g_2 < 1$



- ▶ **Uvnitř** šrafované oblasti jsou rezonátory stabilní.
- ▶ **Mimo** šrafovanou oblast jsou nestabilní.
- ▶ **Na hranici** jsou stabilní rezonátory citlivé na rozladění.

- ▶ Světlo – elektromagnetická vlna  $\times$  částice (foton)
- ▶ Intenzita elektrického pole  $E$  [V/m]  $\times$  Intenzita záření / [W/m<sup>2</sup>]
- ▶ Superpozice elektromagnetických vln – **interferenční jevy**
- ▶ Koherence optického záření
- ▶ Rezonátor  $\times$  **optický rezonátor**
- ▶ **Resonance** – při jednom oběhu se v rezonátoru se naskládá sudý počet půlvln (pro lineární rezonátor  $2L =$  celočíselný násobek vlnových délek)
- ▶ Ztráty, doba života fotonu v rezonátoru
- ▶ Stabilita rezonátoru, diagram stability

# Literatura

-  VRBOVÁ M., JELÍNKOVÁ H., GAVRILOV P.: *Úvod do laserové techniky*, Skriptum FJFI ČVUT, Praha, 1994 (<http://people.fjfi.cvut.cz/sulcjan1/ult/>)
-  VRBOVÁ M. a kol.: *Lasery a moderní optika - Oborová encyklopédie*, Prometheus, Praha, 1994
-  Sochor V.: *Lasery a koherentní svazky*, Academia, Praha, 1990 (<http://people.fjfi.cvut.cz/sulcjan1/ult/>)
-  Engst P., Horák M.: *Aplikace laserů*, SNTL, Praha, 1989 (<http://people.fjfi.cvut.cz/sulcjan1/ult/>)
-  Přednášky: <http://people.fjfi.cvut.cz/sulcjan1/ult/>